

برآورد تبخیر - تعرق پتانسیل در آذربایجان شرقی به روش استفزانز با استفاده از GIS

خلیل ولیزاده کامران^۱

چکیده

برآورد دقیق میزان تبخیر - تعرق پتانسیل (ETp) در مدیریت منابع آب، کشاورزی، زراعت، جنگل و مرتع از اهمیت فراوانی برخوردار است. در سال‌های اخیر استفاده از تکنولوژی GIS برای برآورد دقیق آن، مورد استفاده قرار گرفته و نتایج مطلوبی از آن حاصل شده است. در این تحقیق بالاستفاده از معادله استفزانز اقدام به برآورد تبخیر - تعرق پتانسیل در منطقه آذربایجان شرقی گردیده است. به این منظور برای محاسبه مقدار تابش رسیده به سطح زمین (RS) با استفاده از تصاویر DEMSRTM و با کمکتابع Solar Analyst در محیط نرم‌افزار ArcGIS 9.3 در روز ۱۱ خرداد ماه مایین ساعت ۱۰ الی ۱۱ قبل از ظهر اقدام گردید. پس از محاسبه شیب و جهات شیب از روی تصویر مدل رقومی زمین، اقدام به محاسبه تابش رسیده به سطح گردید. میانگین درجه حرارت دما در منطقه و روز مورد نظر نیز با لحظه کردن تغییرات ارتفاعی محاسبه شده و در معادله استفزانز وارد گردید. نقشه نهائی تبخیر - تعرق پتانسیل در منطقه مورد مطالعه در روز ۱۱ خرداد ماه نشان‌دهنده وجود مقادیری بین ۰ تا ۱۵ میلی‌متر در ساعت می‌باشد که دامنه‌های جنوبی منطقه و مناطق با میانگین درجه حرارت بالا بیشترین میزان تبخیر - تعرق پتانسیل را به خود اختصاص داده‌اند. در اختلاف بین مقادیر فوق تأثیر ارتفاع و جهات شیب در کنترل مقدار تبخیر - تعرق بیش از سایر عوامل بوده است. با توجه به اینکه میزان بارندگی ماهانه نمی‌تواند جوابگوی این مقدار تبخیر - تعرق باشد لذا پیشنهاد شده است که مناطق کشت دیم به سمت مناطق با میزان تبخیر - تعرق کمتر که عمدها در کوهپایه‌های منطقه مورد مطالعه هستند سوق داده شوند.

واژگان کلیدی: تبخیر - تعرق پتانسیل، استفزانز، Solar Analyst، آذربایجان شرقی، GIS

مقدمه

با توجه به اهمیت تبخیر- تعرق در چرخه هیدرولوژی و کاربردهای متنوع آن در علوم مختلف ، محاسبه مقدار آن بهویژه، تبخیر- تعرق پتانسیل و واقعی از اهمیت بالائی برخوردار است. تابش رسیده به زمین^۳ منبع اولیه و اصلی بسیاری از فرایندهای فیزیکی و بیولوژیکی در سطح زمین است. در سطح زمین توپوگرافی مهمترین عاملی است که توزیع فضائی تابش رسیده به زمین را تعیین می‌کند. توع در ارتفاع، شب، جهت شب و سایه‌اندازی ارتفاعات عواملی هستند که توزیع فضائی تابش رسیده به زمین را کنترل می‌کنند. تابش رسیده به زمین در طول روز و در طی سال متغیر است و باعث ایجاد و کنترل میکروکلیماها، دمای هوا و خاک، تبخیر- تعرق، ذوب برف و نور کافی برای فتوسنتر گیاهان می‌شود.

ابزار تحلیل تابش خورشیدی^۴ که جزو ابزارهای تحلیل فضائی^۵ می‌باشد، می‌تواند تأثیر خورشید بر روی مناطق مختلف کره زمین را در مدت زمان معین محاسبه کرده و آن را نمایش داده و تحلیل نماید. به کمک این ابزار می‌توان تاثیرات اتمسفری، طول جغرافیائی و ارتفاع محل، شب و جهت شب، تغییرات روزانه و فصلی زاویه خورشید و تاثیر سایه‌اندازی ارتفاعات در میزان تابش رسیده به زمین را محاسبه نمود. در نتیجه با استفاده از آن می‌توان بسیاری از مدل‌هایی را که برای محاسبه به تابش خورشیدی نیازمند هستند به راحتی اجرا نمود.

برای محاسبه تبخیر- تعرق به طور کلی ۵ روش وجود دارد که عبارتند از روش‌های اندازه گیری مستقیم، دمائی، رطوبتی، ترکیبی و تششعی. در این مقاله سعی می‌شود با استفاده از روش‌های تششعی که بر اساس تابش رسیده به زمین نسبت به برآورد تبخیر- تعرق اقدام می‌نمایند بحث و بررسی به عمل آید.

طی ۵۰ سال گذشته روش‌های تجربی زیادی توسط متخصصان برای برآورد تبخیر- تعرق ارائه شده است که هریک تابع متغیرهای اقلیمی خاصی می‌باشند. اغلب این روش‌ها تحت واسنجی محلی به دست آمده‌اند و معلوم شده است که اعتبار جهانی محدودی دارند.

2- Incoming Solar radiation (Insolation)

3- Solar Analyst

4- Spatial Analyst

کللودیر و همکاران از مقایسه معادلات پریسلی - تایلور و پنمن با لایسیمتر مشاهده نمودند که تبخیر- تعرق روزانه محاسبه شده با این معادلات به ترتیب ۱۵ تا ۲۰ درصد خطا دارند (Clothier, et al: 1982: 302). آن‌ها متذکر شدند که معادله پریسلی - تایلور به علت سادگی داده‌های ورودی ترجیح داده می‌شود. صالح و سندیل ۲۳ روش محاسبه تبخیر- تعرق را در قسمت‌های مرکزی عربستان مورد ارزیابی قرار دادند. آن‌ها روش‌ها را به ۵ گروه روش‌های دمائی، روش‌های مبتنی بر رطوبت، روش‌های تابشی، روش‌های ترکیبی و روش‌های تشتک تبخیر تقسیم نمودند و نتیجه گرفتند که روش جنسن- هیز از گروه روش‌های تابشی در مکان اول و روش تشتک کلاس A در مکان دوم قرار می‌گیرند. در مجموع روش‌های ترکیبی در حد متوسط و روش‌های دمایی در پایین‌ترین مکان قرار گرفتند (Salih & 1984: 2944). سامانی و پسراکلی چند روش مختلف برآوردن تبخیر- تعرق را با لایسیمتر مقایسه کرده و نتیجه گرفتند که معادله هارگریوز- سامانی برای اراضی خشک بهترین برآورد را می‌کند (Samani & Pessarakli, 1986: 522). پروت در نشریه فائقه ۲۴ در یک جمع بندی از کلیه تحقیقات و تجربیات مقیاس جهانی، از میان بیش از ۳۰ روش متدال جهانی، برآوردن تبخیر- تعرق پتانسیل گیاه مرجع، پنج روش از معتبرترین، کارآترین و کاربردی ترین روش‌ها، بهویژه برای کشورهای جهان سوم با اقلیم خشک و نیمه‌خشک را معرفی کردند. این روش‌ها عبارتند از پنمن، پنمن اصلاح شده، بلانی- کریدل اصلاح شده، تشتک تبخیر و روش تابشی که به صورت کاربردی با ذکر و حل مثال‌های عملی همراه با جدول و راه‌حل‌های کاربردی در رابطه با رسم منحنی‌های ضریب گیاهی مطرح شده است (Allen & Pruitt, 1988: 377). آلن و پروت بعد از ارزیابی معادله پنمن گزارش داد که بین تبخیر- تعرق اندازه‌گیری شده لایسیمتر و برآوردهای روزانه از یک گیاه با ارتفاع ثابت و جزء مقاومت سطحی که با شاخص سطح برگ و تابش خالص روزانه تغییر می‌کند مطابقت خوبی وجود دارد (Allen & Pruitt, 1988: 378). رایت آب استفاده شده به وسیله یونجه در چندین فصل را مقایسه کرد و نتیجه گرفت که روش بلانی- کریدل نسبت به تشتک تبخیر %۲۰ خطا دارد (Wright, 1982, 1988: 664). کمیته نیاز آبیاری انجمان مهندسان عمران آمریکا آب مورد نیاز آبیاری را با ۲۰ روش مرسوم برآورده و مقادیر را

به طور ماهانه در مناطق مختلف محاسبه و با نتایج لایسیمتر مقایسه کردند و نتیجه گرفتند که روش پنمن – مانتیس بهترین برآورد را دارد (Jensen & Allen, 1990: 357) هارگریوز و سامانی معادله خود را با لایسیمتر و روشهای دیگر مقایسه کردند و نتیجه گرفتند روشهایی که فقط به دمای هوا نیاز داشته باشد روش خوب و مناسبی است. دلیل آن‌ها این بود که با توجه به مشکلات و خطاهای موجود در اندازه‌گیری داده‌های هواشناسی بهتر است از روشهایی استفاده شود که در آن‌ها از کمترین داده‌های هواشناسی استفاده شود (Hargreaves & Samani, 1989: 303) کمک به کاربران و با توجه به داده‌های موجود، چهار روش بلانی کریدل، تابش، پنمن و تشتک تبخیر برای محاسبه تبخیر – تعرق پتانسیل ارائه شده است. در این نشریه روش پنمن به عنوان روشی که بهترین نتایج را با حداقل خطا نسبت به گیاه مرجع ارائه میکند در نظر گرفته شده است (Allen & Pruitt, 1991: 768). آن و همکاران پنج شکل مختلف معادله پنمن را در یازده نقطه با داده‌های لایسیمتر مقایسه کردند و نتیجه گرفتند که معادله پنمن – مانتیس و پنمن – کیمبرلی در اغلب مناطق با لایسیمتر تطابق خوبی دارند (Allen & Pruitt, 1991: 770). کمیسیون بین‌المللی آبیاری و زهکشی و سازمان خواربار جهانی استفاده از روش فائو – پنمن – مانتیس را بعنوان یک روش استاندارد برای محاسبه تبخیر – تعرق از روی داده‌های اقلیمی و همچنین برای ارزیابی سایر روشهای پیشنهاد نمودند (Hargereaves, 1994: 305) زمانی میتوان به طور مفید استفاده کرد که از ضرایب مناسب استفاده شده باشد (Allen, 1994: 379). اما از آن زمان روش‌های دیگری نیز برای تخمین تبخیر – تعرق پتانسیل یا مرجع ارائه شده است. در یکسری مطالعات موازی جامعه اروپا نیز به برآورد روش‌های مختلف با استفاده از داده‌های لایسیمتری پرداخت. نتیجه این مطالعات نشان داد که معادله پنمن اصلاح شده مقدار تبخیر – تعرق را ۲۰ درصد بیشتر برآورد می‌نماید و سایر روش‌های پیشنهادی فائو نیز بسته به درجه انطباق آن‌ها با شرایطی محلی عکس العمل متغیری را از خود نشان می‌دهند. در هر دو روش، پنمن – مانتیس به عنوان روشی که دارای دقت نسبی



بالا و عملکرد ثابت بوده و با درجه احتمال بالا در دامنه وسیعی از مناطق و اقلیم‌ها برآورده صحیحی از تبخیر- تعرق ارائه می‌کند، معرفی گردید (Allen, et al, 1994: 25).

آقای قهرمان‌زاده بصورت منسجم روش‌های اندازه‌گیری مستقیم، دمائی، تشبعشی، رطوبتی، ترکیبی و روش‌های همبستگی چندگانه را به تفضیل بیان نموده‌اند (قهرمان‌زاده ۱۳۷۴) جهانبخش و همکاران روش تشت تبخیر را به عنوان یک روش ساده و مناسب در برآورد تبخیر- تعرق پتانسیل برای ایستگاه هواشناسی تبریز معرفی می‌نمایند. در این تحقیق که از روش‌های ترکیبی، دمایی، تابشی، همبستگی چندگانه و رطوبتی استفاده شده است روش کریستینسن - هارگریوز RA نسبت به سایر روش‌ها تطبیق بهتری را نشان داده است (جهانبخش و همکاران، ۱۳۸۰). شفیعی و همکاران به ارزیابی مدل‌های تبخیر- تعرق بالقوه برای منطقه اهر پرداخته‌اند. ایشان در این پژوهش به منظور تعیین بهترین مدل برآورد تبخیر- تعرق بالقوه ماهانه برای ایستگاه سینوپتیک اهر مقادیر تبخیر- تعرق بالقوه ماهانه حاصل از تشت تبخیر با مقادیر تبخیر- تعرق به دست آمده از روش‌های مختلف را مورد ارزیابی قرار داده‌اند. بر اساس پژوهش آن‌ها مشخص گردید که روش‌های تورک، تورنت وایت، کریستینسن هارگریوز RA و بلنی کریدل پس از اعمال ضرایب اصلاحی، بهترین انطباق را با مقادیر تبخیر- تعرق پتانسیل ماهانه از تشت تبخیر دارا می‌باشد (شفیعی و همکاران، ۱۳۸۶). اسماعیل پور با بکارگیری نرمافزار REF-ET در حوضه ارس جنوبی اقدام به برآورد تبخیر- تعرق نموده به این ترتیب ایشان موفق به شناسائی بهترین روش در منطقه مورد مطالعه شده و بالاترین و پائین ترین مقادیر تبخیر- تعرق را در بین ایستگاه‌های منطقه مورد مطالعه خود مشخص نمودند (اسماعیل‌پور، ۱۳۸۶). همچنین دین پژوه در سال ۱۳۸۷ به بررسی تبخیر- تعرق گیاه مرجع (ET₀) در زمینه‌های مختلف از جمله است. ایشان اهمیت برآورد تبخیر- تعرق گیاه مرجع (ET₀) در زمینه‌های مختلف از جمله مدیریت منابع آب بیان نموده و هدف اصلی پژوهش خود را تخمین مقدار متوسط دراز مدت ET₀ ایران و تحلیل الگوی تغییرات مکانی آن در ماههای رشد فعال گیاه (اوریل تا سپتامبر) قرار داده‌اند. در این پژوهش از روش هارگریوز برای تخمین ET₀ هشتاد ایستگاه هواشناسی ایران در دوره آماری ۱۹۵۶-۲۰۰۰ استفاده شده است. نتایج ایشان نشان می‌دهد که

سواحل غربی دریای خزر کمترین و قسمت‌های مرکزی بلوچستان بیشترین مقدار ET₀ سالانه کشور را داشته‌اند. بیشترین مقدار ET₀ معادل ۲۷۳ میلی‌متر در ماه ژوئیه در دزفول و کمترین آن معادل با ۷۱ میلی‌متر در ماه آوریل و در بندر انزلی بوده است. در کل مقادیر ET₀ بتدریج از آوریل تا ژوئیه افزایش و به تدریج از ژوئیه تا سپتامبر کاهش می‌یابد (دین پژوه و همکار، ۱۳۸۷). زاهدی و همکار به تفضیل در مورد تبخیر-تعرق پتانسیل بحث نموده و به صورت عملی محاسبه برخی از این روش‌ها را روش‌های نموده است همچنین ایشان با ارائه جداول و نمودارهای لازم برای محاسبات امکان اجرای این محاسبات را برای هر مکانی امکان‌پذیر نموده است (زاهدی و بیاتی خطیبی، ۱۳۸۷).

منطقه مورد مطالعه

استان آذربایجان شرقی با وسعتی معادل ۴۶ هزار کیلومتر مربع در شمال غرب ایران و در موقعیت $26^{\circ} 39'$ تا $45^{\circ} 36'$ درجه عرض شمالی و $45^{\circ} 0' 22'$ تا $48^{\circ} 22'$ طول شرقی واقع شده. این استان به لحاظ وسعت یازدهمین استان کشور است (شکل ۱). به دلیل وجود شرایط توپوگرافی متغیر برای اجرای مدل مناسب است.



شکل (۱) منطقه مورد مطالعه



مواد و روش‌ها

عمده‌ترین روش‌های برآورده تبخیر- تعرق پتانسیل به روش تشعشعی عبارتند از روش‌های: جنسن و هیز^۵، مککینگ^۶، تورک^۷ و استفنسن^۸. ابتدا مروری اجمالی به این روش‌ها می‌گردد.

روش جنسن و هیز

جنسن- هیز اطلاعات جمع‌آوری شده در نواحی خشک ایالات متحده را خلاصه کرده و رابطه زیر را پیشنهاد کرده‌اند (جهانبخش و همکاران، ۱۳۸۰: ۵۳):

$$ETP = CT \cdot (T - T_x) R_s \quad \text{معادله (۱)}$$

در معادله فوق:

CT: ضریب حرارتی

T_x: تقاطع محور دما

CT و T_x توابعی از حداکثر متوسط و حداقل متوسط دما برای گرمترین ماه از سال و ارتفاع ایستگاه می‌باشند.

R_s: تشعشع رسیده به زمین بوده و بر حسب لانگلی در روز است.

ETP : مقدار تبخیر و تعرق بر حسب میلی‌متر در روز به دست می‌آید.

روش مککینگ

این معادله نیز بر اساس اندازه‌گیری یا محاسبه تشعشع خورشیدی رسیده به زمین (Rs) که با درجه حرارت هوا تصحیح شده است، می‌باشد. مککینگ معادله زیر را برای شرایط آب و هوایی هلند ارائه داد (جهانبخش و همکاران، ۱۳۸۰: ۵۳).

5- Jensen and Haise

6- Makking

7- Turc

8- Estefanz

$$ETP = 0.61 \frac{\Delta}{\Delta + \gamma} \cdot \frac{Rs}{58.5} - 0.12 \quad \text{معادله (۲)}$$

در معادله فوق Rs و ETP بر حسب میلی‌متر در روز می‌باشند.

روش تورک

تورک معادله‌ای را برای تخمین مقادیر تبخیر و تعرق ارائه داد که در آن متغیرهای درجه حرارت متوسط و تشعشع خورشیدی بکار رفته است.

معادله وی تحت شرایط اروپای غربی نوشته شده و بر حسب میزان رطوبت نسبی می‌توان آن را به دو حالت تفکیک نمود.

حالت اول: رطوبت نسبی متوسط از ۵۰٪ بیشتر است، در این صورت معادله زیر بکار می‌رود (جهانبخش و همکاران، ۱۳۸۰: ۵۳):

$$ETP = 0.013 \frac{T}{T + 15} (Rs + 50) \quad \text{معادله (۳)}$$

حالت دوم: رطوبت نسبی متوسط از ۵۰ درصد کمتر می‌باشد، که در این حالت معادله بالا باید در ضریب $(1 - \frac{50 - RH}{70})$ ضرب گردد.

در رابطه فوق:

ETP : تبخیر و تعرق پتانسیل بر حسب میلی‌متر در روز

Rs : تشعشع رسیده به زمین بر حسب لانگلی در روز

RH : رطوبت نسبی متوسط بر حسب درصد (%)

روش استفنز

معادله تشعشعی استفنز به قرار زیر است (جهانبخش و همکاران، ۱۳۸۰: ۵۴):

$$ETP = (0.014T - 0.37) \frac{R_s}{1500} \quad \text{معادله (۴)}$$



در رابطه فوق:

ETP: میزان تبخیر و تعرق پتانسیل برحسب اینچ در روز است

R_s : تشعشع رسیده به زمین و واحد آن لانگلی در روز می‌باشد

T: درجه حرارت متوسط برحسب فارینهایت

معادله زیر ETP را بر اساس میلی‌متر در روز بیان می‌کند.

$$ETP = 4.26 \times 10^{-4} R_s (T + 3.24) \quad (5)$$

R_s : لانگلی در روز

T: سانتی گراد °C

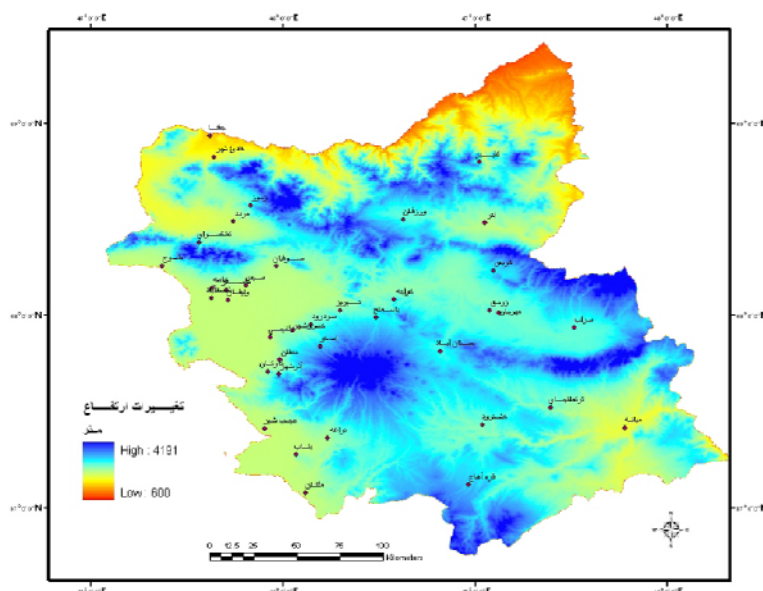
البته روش‌های ترکیبی دیگری نیز وجود دارند که در آن‌ها تشعشع ورودی به زمین نقش اساسی در آن ایفا می‌کند ولی هدف از نشان دادن این فرمول‌ها آن است که نشان داده شود که مهم‌ترین عامل در این فرمول‌ها همان تشعشع ورودی بوده و سایر اجزای فرمول به راحتی قابل جایگزینی هستند.

در ادامه از روش استفنز به عنوان نمونه برای محاسبه تبخیر- تعرق پتانسیل با استفاده از نرم‌افزار ArcGIS استفاده می‌شود. دلیل استفاده از این روش انتخاب آن به عنوان بهترین روش برآورد تبخیر- تعرق پتانسیل در منطقه بر اساس مطالعات قبلی بوده است (مولوی، ۱۳۷۴: ۷۸).

(الف) آماده‌سازی تصویر

تصاویر DEMSRTM از طریق سایت ناسا دانلود گردید^۹. این تصاویر در شبکه‌بندی ۱ در ۱ درجه جغرافیائی می‌باشند و دارای قدرت تفکیک ۹۰ متری هستند، این تصاویر ابتدا موزاییک شده و سپس عملیات Subset به منظور جداسازی منطقه مورد مطالعه (استان

آذربایجان شرقی) از کل تصویر انجام گرفت. با توجه به زمین مرجع بودن این تصاویر، عملیات تصحیح هندسی مورد نیاز نمی‌باشد.



شکل (۲) تصویر مدل رقومی ارتفاع منطقه مورد مطالعه

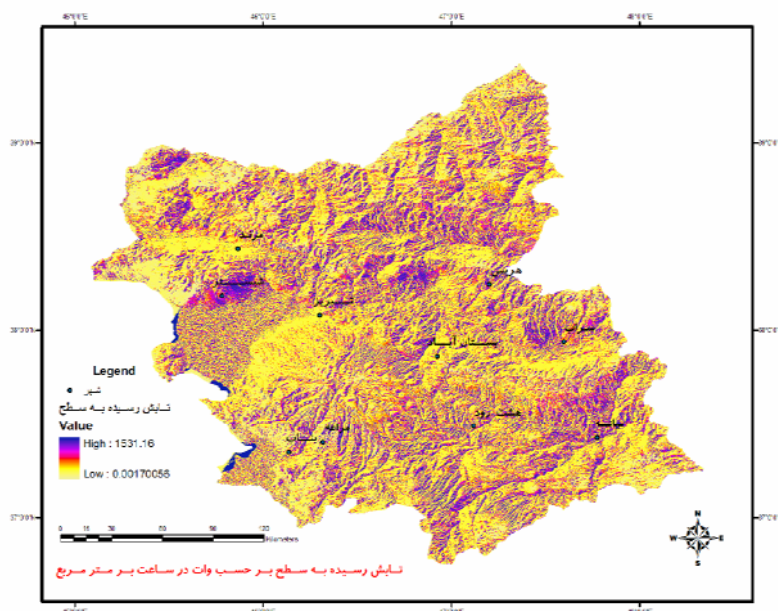
ب) ایجاد لایه شیب و جهت شیب

در محیط نرم‌افزار ArcGIS و با استفاده از منوی تحلیل‌های توپوگرافی بر روی لایه DEM لایه‌های شیب و جهت شیب استخراج و ذخیره گردید.

ج) محاسبه تابش رسیده به زمین

با استفاده از تابع Solar Analyst که از توابع تحلیل‌های فضائی بهشمار می‌رود و با توجه به تحلیل قبلی مبنی بر عدم وجود شرایط ابرآلودگی در روز ۱۵۲ سال مطابق با اول ژوئن (در سال ۲۰۰۹ میلادی) و مطابق ۱۱ خرداد ۱۳۸۸ مایین ساعت ۱۰ تا ۱۱ قبل از ظهر اقدام به برآورد تابش رسیده به زمین گردید. دلیل انتخاب این شرایط وجود آمار تبخیر در

این روز و ساعت می باشد و از طرف دیگر همزمانی با عبور اکثر ماهواره زمین آهنگ که در تحلیل برخی از دیگر ارتباطات مانند تحلیل ارتباط تبخیر- تعرق با کاربری یا پوشش گیاهی می تواند مورد استفاده قرار گیرد، می باشد. در شکل ۳ مقادیر محاسبه شده نمایش داده شده است.



شکل (۳) مقادیر محاسبه شده تابش رسیده به زمین

د) محاسبه درجه حرارت متوسط

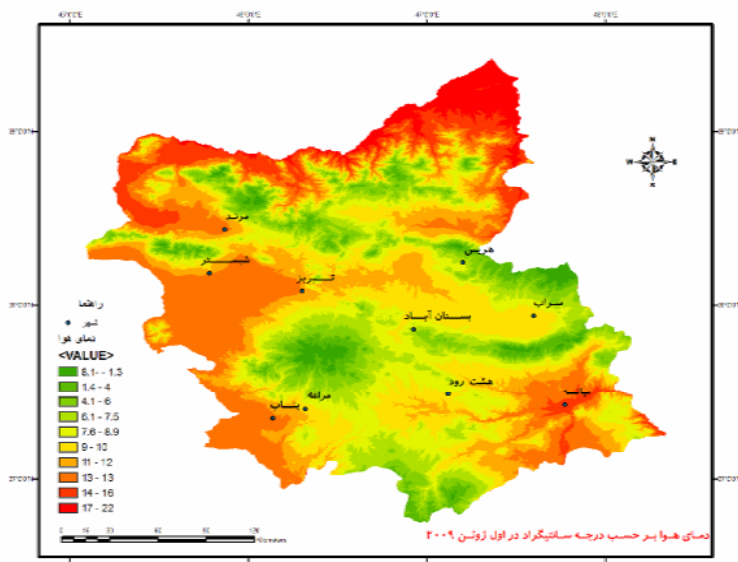
داده های مربوط به درجه حرارت متوسط هوا از طریق سازمان هواشناسی اخذ گردید^{۱۰}. این داده ها به صورت نقطه ای می باشند و تعمیم دادن آن ها به سطح توسط روش های درون یابی بویژه در مناطق کوهستانی نادرست است. روش درون یابی جبری روشه است که می تواند

تا حدود زیادی وضعيت منطقه را به صورتی که نشانگر واقعیت موجود باشد نشان دهد. این روش بر وجود رابطه مشخص میان داده‌های مشاهداتی تأکید می‌کند و به صورت رگرسیون خطی بیان می‌گردد و هدف آن بیان رابطه بین پیش‌بینی شونده و یک یا چند متغیر پیش-بینی‌کننده است (فرج‌زاده، ۱۳۸۶: ۲۳۱).

برای محاسبه این عامل، با مراجعه به آمارهای هواشناسی موجود در ایستگاه‌های منطقه در تاریخ اول ژوئن ۲۰۰۹ اقدام به محاسبه آن گردید. با توجه به اینکه ارقام موجود به صورت نقطه‌ای بوده و تعمیم آن به سطح نادرست است با دخالت دادن عامل ارتفاع (لایه DEM) و با محاسبه همبستگی دما (T) و ارتفاع (H) در این روز، معادله زیر حاصل گردید:

$$T = -0.0071 H + 21.5 \quad (\text{معادله } ۶)$$

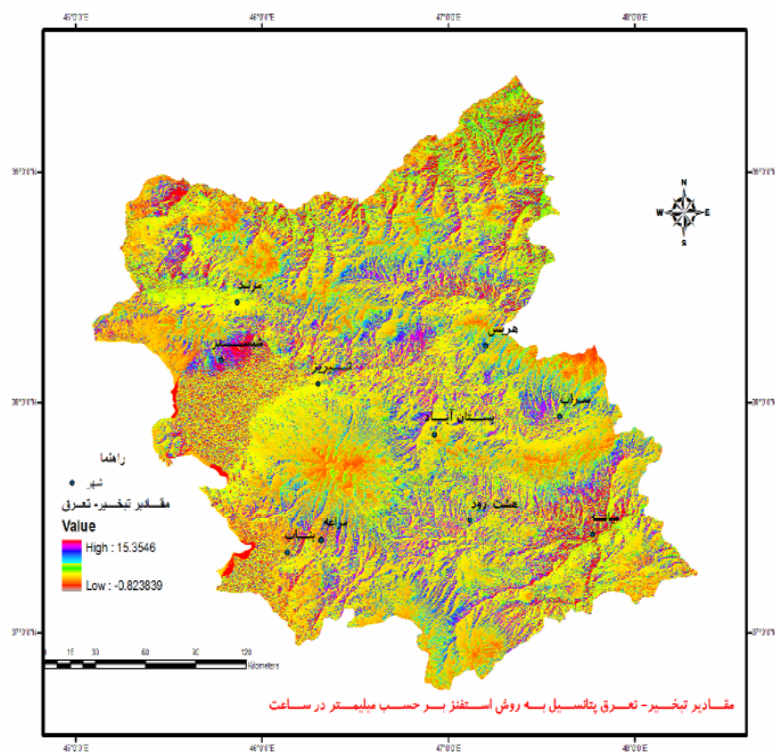
در محیط GIS اقدام به تهییه نقشه سطوح همدماهی آن روز در منطقه مورد مطالعه گردید که نتیجه آن در شکل ۴ ارائه شده است:



شکل (۴) سطوح همدماهی میانگین متوسط در اول ژوئن ۲۰۰۹

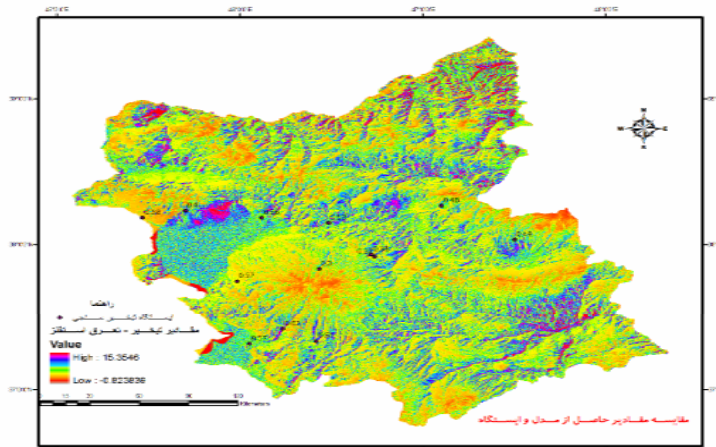
یافته‌ها

محاسبه تبخیر-تعرق پتانسیل (ET0) با استفاده از معادله استفنز با توجه به معادله شماره ۵ عوامل موثر در محاسبه تبخیر-تعرق پتانسیل موجود بوده و با مدل‌سازی آن اقدام به برآورد تبخیر-تعرق پتانسیل به این روش گردید و نتیجه آن در شکل ۵ ارائه شده است:



شکل(۵) مقادیر محاسبه تبخیر-تعرق پتانسیل به روش استفنز در منطقه مورد مطالعه

با توجه شکل ۶ مقایسه‌ای بین مقادیر حاصل از اجرای مدل و محاسبه تبخیر-تعرق پتانسیل به روش استفنز و مقادیر اندازه‌گیری شده در ایستگاه‌های تبخیرسنجی شده است.



شکل (۶) مقایسه مقادیر حاصل از مدل و ایستگاه‌های تبخیرسنجدی

برای اعتبارسنجی مدل اجرا شده مقادیر تبخیر ثبت شده در برخی ایستگاه‌های تبخیر سنجدی منطقه از سازمان آب منطقه‌ای استان آذربایجان شرقی اخذ گردید و مقادیر آن با مقادیر حاصل از مدل اجرا شده مقایسه گردید. نتایج حاصل در جدول شماره ۱ می‌باشد:

جدول (۱) مقایسه مقادیر حاصل از ایستگاه‌های تبخیرسنجدی و اجرای مدل

ردیف	ایستگاه	مقادیر اندازه‌گیری شده	مقادیر حاصل از مدل	اختلاف
۱	سد علویان	۰/۶۳ میلی‌متر در ساعت	۰/۷۵ میلی‌متر در ساعت	+ ۰/۱۲
۲	لیقوان	۰/۳ میلی‌متر در ساعت	۰/۴ میلی‌متر در ساعت	+ ۰/۱۰
۳	ارشتاپ	۰/۲۷ میلی‌متر در ساعت	۰/۴۵ میلی‌متر در ساعت	+ ۰/۰۸
۴	قوربگل	۰/۳۸ میلی‌متر در ساعت	۰/۴۸ میلی‌متر در ساعت	+ ۰/۱۰
۵	شرفخانه	۰/۳۸ میلی‌متر در ساعت	۰/۴۷ میلی‌متر در ساعت	+ ۰/۰۹
۶	شانجان	۰/۴ میلی‌متر در ساعت	۰/۵ میلی‌متر در ساعت	+ ۰/۱۰
۷	برازین	۰/۴۸ میلی‌متر در ساعت	۰/۵۸ میلی‌متر در ساعت	+ ۰/۱۰
۸	میرکوه حاجی	۰/۴۹ میلی‌متر در ساعت	۰/۵۸ میلی‌متر در ساعت	+ ۰/۰۹
۹	مقانچق	۰/۵۱ میلی‌متر در ساعت	۰/۶۳ میلی‌متر در ساعت	+ ۰/۱۲
۱۰	نهند	۰/۵۳ میلی‌متر در ساعت	۰/۶۴ میلی‌متر در ساعت	+ ۰/۱۱
۱۱	سهلان	۰/۵۶ میلی‌متر در ساعت	۰/۶۴ میلی‌متر در ساعت	+ ۰/۰۸
۱۲	بناب	۰/۵۷ میلی‌متر در ساعت	۰/۶۵ میلی‌متر در ساعت	+ ۰/۰۸
۱۳	آذرشهر	۰/۵۷ میلی‌متر در ساعت	۰/۶۵ میلی‌متر در ساعت	+ ۰/۰۸



با توجه به جدول مشخص می‌شود که مقادیر حاصل از اجرای مدل نسبت به مقادیر حاصل از مقادیر اندازه‌گیری شده در ایستگاه‌های تبخیر سنجی همواره بیشتر می‌باشد و این اختلاف بین $۰/۰۸$ تا $۰/۱۲$ میلی‌متر در ساعت و یا به صورت میانگین $۰/۰۷$ میلی‌متر در ساعت است.

بحث و نتیجه‌گیری

استفاده از تصاویر ماهواره‌ای و تکنولوژی سنجش از دور بعنوان منابع متابع داده اولیه در محاسبات تبخیر- تعرق در دهه‌های اخیر در حال گسترش بوده است. در کنار آن GIS به عنوان سیستمی که قدرت تحلیل فضائی و مکانی بی‌نظیری را به کاربران می‌دهد، همواره مورد نظر محققان بوده است. در سال‌های اخیر بحران منابع آب، نیاز مدیران را برای داشتن اطلاعاتی دقیق از وضعیت هیدرولوژیکی مناطق چند برابر نموده است و محاسبات سنتی که عمدتاً بر پایه داده‌های هواشناسی و اقلیمی است و تنها بازگوکننده وضعیت یک نقطه (ایستگاه هواشناسی) است دیگر جوابگوی نیازهای مدیریتی برای تهیه داده‌ها دقیق نیست. منطقه مورد مطالعه در منطقه‌ای واقع شده که به لحاظ اقلیمی جزو مناطق خشک و نیمه‌خشک محسوب می‌شود و در این مناطق بیش از ۹۰ درصد آب رسیده به سطح زمین توسط تبخیر- تعرق به چرخه هیدرولوژیکی بازمی‌گردد. همچنین این منطقه جزو مساعدترین مناطق کشاورزی کشور می‌باشد و در نتیجه مدیریت منابع آب در این منطقه از اهمیت بیشتری برخوردار می‌گردد.

در محاسبه مقادیر تبخیر- تعرق عوامل ارتفاع، شب و جهت شب نقش بسیار مهمی در آن ایفا می‌نمایند ولیکن دخالت دادن این عوامل تنها از طریق تصاویر ماهواره‌ای امکان‌پذیر می‌باشد و به این دلیل نتایج حاصل از این تحقیقات نسبت به سایر روش‌ها به ویژه روش‌های سنتی دقیق‌تر است و در تصویر شماره ۵ این مقادیر نه به صورت پهن‌های بلکه بصورت پیکسل‌هایی ارائه شده که عوامل فوق در آن‌ها دخال داده شده است و به راحتی امکان محاسبات ریاضی و آماری را دارا هستند و محققان می‌توانند مقادیر کمی را از آن با دقت بسیار بالائی استخراج نمایند.

همچنین در این نقشه مشخص می‌گردد که کمترین مقدار تبخر- تعرق پتانسیل در ارتفاعات و دامنه‌های شمالی مشاهده می‌شود. به عنوان مثال مناطق واقع در ارتفاعات کوه سهند و دامنه‌های سبلان کمترین مقدار تبخر- تعرق پتانسیل را دارند. در مقابل دامنه‌های جنوبی بیشترین مقادیر تبخر- تعرق پتانسیل را به خود اختصاص می‌دهند. در این بین دو منطقه قابل توجه وجود دارد. اولین آن دامنه‌های جنوبی کوه می‌شوند که بیشترین تابش خورشیدی را نیز دریافت می‌نمایند. این منطقه در زبان ترکی و محلی «گونه‌ی» یا منطقه آفتتابگیر نامیده می‌شود. منطقه بعدی سواحل دریاچه ارومیه می‌باشد که هم مقدار تابش رسیده و مقدار تبخر- تعرق پتانسیل بالائی دارد. می‌توان چنین استنباط نمود که یکی از دلایل خشک شدن دریاچه ارومیه همین مقدار بالائی تبخر- تعرق پتانسیل در مقابل واردات آب ناچیز این دریاچه است. در حال حاضر مدیریت منابع آب از مهم‌ترین مشکلات کشور محسوب می‌شود. یکی از روش‌هایی که می‌تواند نیاز آبی گیاه را کاهش دهد کشت محصول در مناطقی است که دارای تبخر- تعرق پتانسیل کمتری هستند که این مناطق در شبکه‌ای شمالی کوههای سهند و می‌شووند. در مجموع می‌توان چنین استنباط کرد که مقدار تبخر- تعرق پتانسیل منطقه را دو عامل ارتفاع و جهت شبکه کنترل می‌نمایند و عامل شبکه اهمیت چندانی در تعیین تبخر- تعرق پتانسیل ندارد. با توجه به عملیات محدودی که با کمترین داده‌های هواشناسی انجام گردید و نتایج قابل قبولی را ارائه داد می‌توان نتیجه‌گیری که با استفاده از GIS و روش‌های تشبعی برآورد تبخر- تعرق پتانسیل می‌توان به سرعت و دقت قابل قبول وضعیت منطقه را ارزیابی کرد. همچنین رسترسی بودن این نقشه‌ها به محقق این اجزاء را می‌دهد تا هرگونه تحلیل و برآوردهای آماری را در سطح منطقه انجام دهد که این عملیات از عهده روش‌های سنتی خارج است.

پیشنهاد می‌گردد این روش با استفاده از سایر فرمول‌های تشبعی نیز محاسبه شده و نتایج آن با همدیگر مقایسه و بهترین روش که کمترین خطأ را داشته باشد انتخاب گردد.



منابع

- ۱- اسماعیلپور، مرضیه (۱۳۸۶)، «ارزیابی بیلان آب برای استفاده کشاورزی در حوضه جنوبی رود ارس»، پایان نامه کارشناسی ارشد، دانشکده علوم انسانی و اجتماعی، دانشگاه تبریز.
- ۲- جهانبخش اصل، سعید؛ موحددانش، علی اصغر؛ مولوی، احمد (۱۳۸۰)، «تحلیل مدل های برآورد تبخیر- تعرق برای ایستگاه هواشناسی تبریز»، *دانش کشاورزی*، شماره ۲ جلد ۱۱، ۵۱-۶۵.
- ۳- دین پژوه، یعقوب؛ جهانبخش، سعید (۱۳۸۷)، «بررسی تبخیر- تعرق گیاه مرجع در ایران با استفاده از روش هارگریوز»، مجموعه مقالات سومین کنفرانس مدیریت منابع آب ایران، دانشگاه تبریز.
- ۴- زاهدی، مجید؛ بیاتی خطیبی، مریم (۱۳۸۷)، «هیدرولوژی»، انتشارات سمت.
- شفیعی فسندیس، ابراهیم؛ ساری صراف، بهروز؛ جهانی، مقصود؛ مولوی، احمد (۱۳۸۶)، «ارزیابی مدل های برآورده تبخیر- تعرق بالقوه برای منطقه اهر»، *فضای جغرافیائی*، شماره ۲۰ زمستان ۱۳۸۶.
- ۵- فرج زاده، منوچهر (۱۳۸۶)، «*تکنیک های اقلیم شناسی*»، انتشارات سمت.
- ۶- قهرمان زاده، بهرام (۱۳۷۴)، «تعیین مناسب ترین رابطه برآورده تبخیر و تعرق پتانسیل از بین روابط موجود برای منطقه ارومیه»، پایان نامه کارشناسی ارشد، دانشکده کشاورزی، دانشگاه تبریز.
- ۷- لو، ژان (۱۳۷۸)، «*هیدرولوژی آب های سطحی*»، ترجمه مجید زاهدی، انتشارات آناس.
- ۸- مولوی، احمد (۱۳۷۴)، «واسنجی و آنالیز مدل های برآورده تبخیر و تعرق»، پایان نامه کارشناسی ارشد، دانشگاه تبریز.
- 9- Allen, R.G and W.O. Pruitt (1988), “Closure to Relational Use of the FAO Blaney-Criddle Formula”, *J.Irrig and Drian Eng.* 114(2):375-380.
- 10- Allen, R.G and W.O. Pruitt (1991), “FAO-24 Reference Evapotranspiration Factors”, *J.Irrig and Drian ASCE* 117(5):758-773.

- 11- Allen, R.G., M. Tasumi, A. Morse (2005), "Satellite-based Evapotranspiration by METRIC and Landsat for Western Estates Water Management", US Bureau Reclamation Evapotranspiration Workshop.
- 12- Clotheir, B.E., J.P. Kerr, J.S. Talbut and D.R. Scotter (1982), "Measured and Evapotranspiration from Well-Watered Crops", New Zealand", *J.Agr.Res.*, 25: 301-307.
- 13- Hargreaves, G.H and Z.A. Samani, (1989), "Evapotranspiration Estimates in Extremely Arid Areas", *J. Irrig. Drain*, Vol. 115: 301-308.
- 14- Jensen, M.E.R.D and R.G. Allen (1990), "Evapotranspiration and Irrigation Water Requirements", ASCE Manuals and Reports on Engineering Practices, No. 70: 354-358.
- 15- Salih, A.M.A. and U. Sendil (1984), "Evapotranspiration under Extremely Arid Climates", *J. Irrig., and Drain, Eng., ASCE*, 110(3): 289-303.
- 16- Samani, Z.A., and M. Pessarakli (1986), "Estimating Potential Crop Evapotranspiration with Minimum Data in Arizona", *Trans, ASAE*, 29: 522-524.
- 17- Wright, J.L. (1988), "Daily and Seasonal Evapotranspiration and Yield of Irrigated Alfalfa Southern Idaho", *Agron*, J. 80:662-669.